



# خنثی‌سازی اثر محیط سنتگی از داده‌های ژئوشیمیایی با استفاده از منطق خوشه‌بندی فازی میان مرکز-مطالعه‌ی موردي ورقه‌ی شرق ایران، بیرجند

مسعود افیانی<sup>۱</sup> و احمد آریافر<sup>۲</sup>

(۱) گروه معدن، دانشکده‌ی مهندسی، دانشگاه آزاد اسلامی واحد شهرورد

(۲) دانشجوی دکتری مهندسی اکتشاف معدن، دانشکده‌ی معدن و ژئوفیزیک، دانشگاه صنعتی شهرورد

## چکیده

در مطالعه‌ی حاضر داده‌های ۲۰ عنصری از ۱۷۵ نمونه‌ی ژئوشیمیایی ورقه‌ی ۱:۵۰۰۰۰ خوسف که در شرق ایران و در ۳۵ کیلومتری غرب شهرستان بیرون جند واقع شده به منظور شناسایی مناطق کانی سازی احتمالی مورد بررسی قرار می‌گیرد. برای این منظور از منطق فازی استفاده گردید. در این روش داده‌ها توسط منطق فازی FCMC که در آن عضویت هر نمونه به خوشه‌ها فازی می‌باشد، مورد بررسی قرار می‌گیرد و با توجه به واحدهای سنتگی موجود در منطقه و انجام آنالیز خوشه‌ای تعداد ۸ خوشه انتخاب و گروه‌بندی شدند، که در نتیجه این خوشه‌بندی درجه‌ی عضویت هریک از نمونه‌ها به خوشه‌ها و مراکز هر یک از خوشه‌ها به دست آمد. سپس با استفاده از روابط موجود، مقادیر بازنده محاسبه گردید. در انتهای جهت شناسایی نواحی امیدبخش نقشه‌های مربوط به مقادیر بازنده رسم گردید که در این تحقیق برای مثال نقشه‌ی مربوط به عنصر Zn آورده شده است.

**واژه‌های کلیدی:** ژئوشیمیایی، سینیزیتیک، اپی ژنیتیک، خنثی‌سازی، فازی.

## Elimination of syngenetic components from geochemical data using Fuzzy C-means clustering, case study: an example from east of Iran, Birjand

M. Akhyani<sup>1</sup> & A. Aryafar<sup>2</sup>

1) Department of Mining, Islamic Azad University, Shahrood Branch, Shahrood, I. R. Iran

2) Faculty of Mining and Geophysics, Shahrood University of Technology, Shahrood, I. R. Iran

### Abstract

In this research, 175 geochemical samples collected from Khusf (1:50000 sheet), which is located 35 km west of Birjand, were analyzed for 20 elements. Fuzzy c-means cluster analysis (FCMC) was applied to the results. Using this method, each sample belonged to clusters with specific membership. In this method, with regard to lithologic units in the area and the results of k-mean clustering, 8 clusters were selected and samples were grouped in clusters. As a result of the clustering the membership and cluster centers values were obtained and the residual values were calculated. Finally, for recognition of the prospecting area the related maps were depicted, for example, the Zn related map.

**Key words:** Geochemistry, syngenetic, epigenetic, components, fuzzy.

## ۱- مقدمه

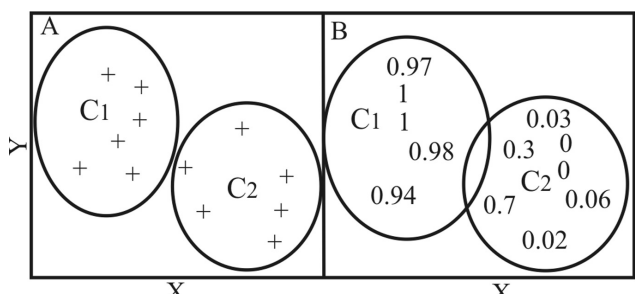
نقشه‌ی زمین‌شناسی منطقه نشان می‌دهد که واحدهای موجود در منطقه از تنوع بسیار زیادی برخوردار می‌باشند و سن‌این واحدها از پالئوزوئیک تا کواترنر تغییر می‌کند. واحدهای رسوبی و رسوبی-آتشفسانی عمدتاً شامل ماسه‌سنگ و کنگلومرا، مارن و توف در قسمت‌های مرکزی منطقه موجود هستند. واحدهای آتشفسانی ائوسن-اولیگوسن عمدتاً شامل آندزیت-توف و داسیت‌ها هستند و در شمال و شمال غرب نقشه دیده می‌شوند. واحدهای آذرین درونی در شمال شرق نقشه و رسوبات عهد حاضر که عمدتاً رسوبات آبرفتی به شکل پادگانه‌ها و مخروط افکنه‌ها و آبرفت‌های سست می‌باشند در بخش‌های مرکزی تا شمال شرق وجود دارند (وحدتی و خلفی (Shiva 1998).

(۱۳۶۵)

یکی از روش‌های خنثی سازی، استفاده از منطق فازی است. از زمانی که پروفسور لطفی در سال ۱۹۷۶ تئوری فازی را بیان نمود تا به امروز بیش از ۴۰۰۰۰ مقاله در زمینه‌های مختلف علمی منتشر شده است (کاویانی ۱۳۷۹). منطق فازی در زمین‌شناسی و به ویژه ژئوشیمی کاربرد دارد. در این مقاله به طور مثال، کاربرد آن به خوبی مشخص است. مسائل زمین‌شناسی و مهندسی معدن، به علت پیچیدگی، دراستفاده از این منطق فازی مستثنی نیستند. یکی از مسائل مهم معدنی، خنثی سازی اثر مؤلفه‌ی سنتزنتیک می‌باشد که یکی از روش‌های کاهش و یا حذف آن استفاده از منطق خوشبندی می‌باشد. تقسیم‌بندی خوشبندی افزای یک مجموعه از داده‌ها یا اشیاء به چند خوشبندی می‌باشد. این افزار باستی دارای دو خاصیت همگنی در داخل هر خوشبندی و ناهمگنی در بین خوشبندی‌ها برخوردار باشد. خوشبندی فازی گونه‌ی دیگری از خوشبندی است که در آن عضویت هر نمونه به خوشبندی می‌باشد (طاهری ۱۳۷۵). در روش خوشبندی میان مرکز هدف آن است که برای داده‌ها تعدادی مرکز خوشبندی مشخص کنیم. سپس نمونه‌ها بر اساس شباهت، که این میزان شباهت از طریق تابع پیوسته‌ای به نام تابع عضویت با تولید مقادیر بین ۰ تا ۱ مشخص می‌شود، در خوشبندی‌ها قرار می‌گیرند (حسنی پاک ۱۳۸۰). در این مطالعه تعداد ۱۷۵ نمونه ژئوشیمیابی مربوط به ورقه‌ی ۱:۵۰۰۰۰ زمین‌شناسی خوسف (وحدتی و خلفی) (۱۳۶۵) که در شرق ایران و در ۳۵ کیلومتری غرب شهرستان بیرجند واقع شده، توسط منطق فازی جهت خنثی سازی اثر سنتزنتیک از آن‌ها مورد بررسی قرار گرفته است. در ادامه‌ی روش منطق فازی مورد بحث قرار خواهد گرفت.

## ۲- تحلیل خوشبندی فازی میان مرکز

این روش نیز یکی از روش‌های تحلیل خوشبندی فازی است که کاربرد زیادی در علوم مختلف پیدا کرده است. روش‌های تحلیل خوشبندی کرسب (krisp: خشک و انعطاف‌ناپذیر) مرز قطعی بین خوشبندی قرار می‌دهند به نحوی که یک نمونه یا به یک خوشبندی قطعاً تعلق دارد یا قطعاً تعلق ندارد (برداشت شده از حسنی پاک و شرف‌الدین ۱۳۸۰)، به عبارت دیگر هر نمونه باید به یک خوشبندی داشته باشد. به این گونه روش‌ها که در آن یک نمونه یا متعیر فقط باید به یک خوشبندی نسبت داده شود روش‌های خوشبندی بی‌انعطاف گفته می‌شود. تصویر ۱ مقایسه‌ی روش تحلیل خوشبندی بی‌انعطاف و فازی را نشان می‌دهد.



تصویر ۱- (A) تحلیل خوشبندی معمولی، (B) تحلیل خوشبندی فازی.

در روش خوشبندی میان مرکز هدف آن است که براساس داده‌ها تعدادی مرکز خوشبندی مشخص کنیم. این مرکز باشد که میان داده‌ها و خوشبندی میان مرکز تقلیل خوشبندی مورد نظر باشند. روش خوشبندی میان مرکز بی‌انعطاف

میان مرکز هدف آن است که برای داده‌ها تعدادی مرکز خوشبندی مشخص کنیم. سپس نمونه‌ها بر اساس شباهت، که این میزان شباهت از طریق تابع پیوسته‌ای به نام تابع عضویت با تولید مقادیر بین ۰ تا ۱ مشخص می‌شود، در خوشبندی‌ها قرار می‌گیرند (حسنی پاک ۱۳۸۰). در این مطالعه تعداد ۱۷۵ نمونه ژئوشیمیابی مربوط به ورقه‌ی ۱:۵۰۰۰۰ زمین‌شناسی خوسف (وحدتی و خلفی) (۱۳۶۵) که در شرق ایران و در ۳۵ کیلومتری غرب شهرستان بیرجند واقع شده، توسط منطق فازی جهت خنثی سازی اثر سنتزنتیک از آن‌ها مورد بررسی قرار گرفته است. در ادامه‌ی روش منطق فازی مورد بحث قرار خواهد گرفت.

فاصله‌ی نمونه‌ی  $k$  ام تا مرکز خوشه‌ی  $i$  ام است که به طریق زیر محاسبه می‌شود:

$$(d_{ik})^2 = \sum_{j=1}^m [(X_{kj} - C_{ij}) / S_j]^2 \quad (3)$$

که در آن  $X_{kj}$  مقدار متغیر  $j$  ام در نمونه‌ی  $k$  ام،  $C_{ij}$  مقدار متغیر  $j$  ام از خوشه‌ی  $i$  ام و  $S_j$  انحراف معیار متغیر  $j$  ام است. (Kramar 1995) (۴) محاسبه‌ی تابع هدف: تابع هدف متغیر  $J$  در محیطی که به درجه‌ی  $q$  فازی شدگی یا شولایی دارد به صورت زیر تعریف می‌شود:

$$J_q = \sum_{i=1}^c \sum_{k=1}^n (\mu_{ik})^q (d_{ik})^q \quad (4)$$

که در آن مقادیر  $\mu_{ki}$  و  $d_{ik}$  از روابط قبلی محاسبه می‌شود.

(۵) تکرار محاسبات از مرحله‌ی دوم تا چهارم تا جایی که اختلاف بین دو مرحله‌ی متوالی محاسبه‌ی  $J_q$  کمتر از دقت مورد نیاز شود. یکی از کاربردهای روش تحلیل خوشه‌ای میان مرکز حذف مؤلفه‌ی سنتزیک است (Rantitsch 2000). در اینجا مهم است که تعداد خوشه‌ها با توجه به تنوع واحدهای سنگی و چگونگی توزیع آن‌ها در منطقه در نظر گرفته شوند. این عامل اهمیت زیادی در نتایج به دست آمده از این روش دارد.

پس از محاسبه‌ی مرکز خوشه‌ها، مقدار هریک از متغیرهای ژئوشیمیابی در مرکز هر خوشه برابر با میانگین وزن دار همان متغیر در نمونه‌های موجود در آن خوشه است. در اینجا اوزان، همان درجه‌ی عضویت نمونه‌ها به خوشه‌ی مربوطه است. پس از محاسبه‌ی مقدار متغیر در تمام مرکز خوشه‌ها می‌توان به محاسبه‌ی مقدار متغیر در نقاطه نمونه‌برداری شده با درجه‌ی عضویت معلوم نسبت به خوشه‌ها اقدام کرد. به عنوان مثال اگر نمونه به خوشه‌های A، B و C با درجه عضویت  $0.2/5$ ،  $0.5/5$  و  $0.3/5$  متعلق داشته باشد، مقدار روی آن می‌تواند از رابطه زیر محاسبه شود:

$$Znx = 0.2ZnA + 0.5ZnB + 0.3ZnC \quad (5)$$

معمولًاً مقدار محاسبه شده‌ی متغیر در هر نقطه با مقدار اندازه‌گیری شده آن برابر نمی‌باشد. این امر می‌تواند دلایل مختلفی داشته باشد. از آن جمله می‌توان به اثر آلودگی‌ها، خطای اندازه‌گیری، وجود مؤلفه‌های اپی‌ژنتیک کائی سازی در منطقه اشاره کرد. در این صورت لازم است مقادیر بازماند از رابطه زیر محاسبه شوند:

$$\sigma_{kj} = X_{kj} - \sum_{i=1}^c \mu_{ik} c_{ij} \sum \quad (6)$$

مبتنی بر فرآیند تکرار است. هدف آن‌ها به حداقل رساندن بزرگترین فاصله‌ی یک نمونه (یا متغیر) تا مرکز خوشه است. در این روش، در نهایت، هر نمونه یا متغیر به یک خوشه تعلق می‌گیرد. این اصل فازی که هیچ نمونه و یا متغیر را به طور مطلق متعلق به یک خوشه نمی‌داند در اینجا به کمک می‌آید و مشکل را حل می‌کند (Vriend 1987).

در این مدل چیزی که مطرح نیست تعلق کامل یک نمونه یا متغیر به یک خوشه است، زیرا وجود یا عدم چنین تعلقی ملاک کار نیست بلکه میزان شباهت هر نمونه یا متغیر به خوشه‌ی مفروض مورد توجه است. میزان این شباهت از طریق تابع پیوسته‌ای به نام تابع عضویت با تولید مقادیر بین صفر (که متناظر با عدم عضویت یک نمونه یا متغیر در خوشه است) تا یک (که متناظر با تعلق کامل نمونه یا متغیر در یک خوشه است) مشخص می‌شود.

فرض می‌کنیم  $n$  نمونه داریم که برای هریک  $m$  متغیر اندازه‌گیری شده است. می‌خواهیم نمونه‌ها را به  $c$  کلاستر با مرکز معلوم تقسیم کنیم. برای این کار از الگوریتم تحلیل خوشه‌ای فازی میان مرکز به صورت زیر استفاده می‌شود. (Kramar 1995)

(۱) درجه‌ی عضویت هر نمونه به هر خوشه را به طور تصادفی تعیین می‌کیم: برای این منظور کافی است برای هر نمونه به تعداد خوشه‌ها عدد تصادفی تولید کنیم.

(۲) با استفاده از درجه‌ی عضویت و مختصات مرکز خوشه‌ها، مختصات جدید مرکز خوشه‌ها از رابطه‌ی زیر محاسبه می‌شود:

$$C_{ij} = \frac{\sum_{k=1}^n (\mu_{ki})^q x_{kj}}{\sum_{k=1}^n (\mu_{ki})^q} \quad (1)$$

که در آن  $C_{ij}$  مقدار متغیر  $j$  ام از مرکز خوشه  $i$  ام،  $\mu_{ki}$  درجه عضویت نمونه‌ی  $k$  ام به خوشه‌ی  $i$  ام و  $X_{kj}$  مقدار متغیر  $j$  ام در نمونه‌ی  $k$  ام است.  $q$  معرف درجه‌ی شدت شولایی یا فازی شدگی متغیر  $j$  در نمونه‌ی  $k$  ام است. که از  $1/5$  تا  $3/5$  تغییر می‌کند.

(۳) پس از محاسبه مراکز جدید خوشه‌ها لازم است درجه‌ی عضویت هر نمونه به هر مرکز، خوشه‌ی جدید بر مبنای فاصله‌ی اقلیدسی از رابطه‌ی زیر محاسبه می‌شود:

$$\mu_{ik} = \frac{(d_{ik})^{-1/(q-1)}}{\sum_{k=1}^c (d_{ij})^{-1/(q-1)}} \quad (2)$$

که در آن  $k$  درجه‌ی عضویت نمونه‌ی  $k$  ام به خوشه‌ی  $i$  ام،  $d_{ik}$ ،

جدول-۱-ماتریس مربوط به درجه عضویت تعدادی از نمونه‌ها در خوش‌ها.

شماره نمونه	۱	۲	۳	۴	۵	۶	۷	۸
۴۹۶	۰/۰۳۹	۰/۰۵۸	۰/۰۳۴	۰/۰۸۸	۰/۰۱۹	۰/۰۶۵	۰/۱۱۶	۰/۰۱۶
۴۹۷	۰/۰۷۳	۰/۱۶۶	۰/۱۳۸	۰/۱۲۵	۰/۰۹۵	۰/۱۰۳	۰/۱۱۹	۰/۱۱۹
۴۹۸	۰/۰۹۸	۰/۱۶۴	۰/۰۳۹	۰/۰۲۷	۰/۰۰۵	۰/۰۵۶	۰/۰۰۷	۰/۰۰۷
۴۹۹	۰/۰۲۳	۰/۱۴۰	۰/۱۳۱	۰/۰۵۶	۰/۰۱۶	۰/۰۲۹	۰/۰۲۳	۰/۰۰۹
۵۰۰	۰/۰۳	۰/۰۴۱	۰/۰۹۱	۰/۰۲۱	۰/۰۱۴	۰/۰۱۳	۰/۰۶	۰/۰۰۹
۵۰۱	۰/۱۷۱	۰/۰۶۵	۰/۰۲۵	۰/۰۲۲	۰/۰۱۲	۰/۰۲۹	۰/۰۱	۰/۰۱
۵۰۲	۰/۱۳۶	۰/۰۴۸	۰/۰۱۷	۰/۰۰۷	۰/۰۴۵	۰/۰۱۳	۰/۰۰۷	۰/۰۰۷
۵۰۳	۰/۰۴۷	۰/۰۷۷	۰/۰۵۸	۰/۰۵۲	۰/۰۱۰	۰/۰۳۱	۰/۰۷۶	۰/۰۷۶
۵۰۴	۰/۰۳۷۵	۰/۰۵۳	۰/۰۴۴	۰/۰۲۱	۰/۰۰۹	۰/۰۸۲	۰/۰۸۲	۰/۰۰۸
۵۰۵	۰/۰۳۴۷	۰/۰۵۸	۰/۰۵۳	۰/۰۲۲	۰/۰۰۹	۰/۰۳۱۲	۰/۰۰۸	۰/۰۰۸
۵۰۶	۰/۰۴۰۷	۰/۰۷۵	۰/۰۴۴	۰/۰۲۳	۰/۰۱۰	۰/۰۳۳	۰/۰۰۸	۰/۰۰۸
۵۰۷	۰/۰۳۰۳	۰/۰۶۲	۰/۰۵۵	۰/۰۲۲	۰/۰۱۷۴	۰/۰۰۸	۰/۰۳۶۸	۰/۰۰۸
۵۰۸	۰/۰۰۹	۰/۰۷۵	۰/۰۴۲	۰/۰۲۴	۰/۰۰۸	۰/۰۳۰۳	۰/۰۰۸	۰/۰۰۸
۵۰۹	۰/۰۱۷۸	۰/۰۷۸	۰/۰۳۴	۰/۰۲۳	۰/۰۱۲	۰/۰۳۰۲	۰/۰۱۲	۰/۰۱۲
۵۱۰	۰/۰۱۷۸	۰/۰۷۶	۰/۰۷۶	۰/۰۲۱	۰/۰۱۷	۰/۰۱۷	۰/۰۱۵	۰/۰۱۰
۵۱۱	۰/۰۹۳	۰/۰۴۶	۰/۰۲۶	۰/۰۱۳	۰/۰۰۹	۰/۰۳۹	۰/۰۵۷	۰/۰۵۷
۵۱۲	۰/۰۳۰۵	۰/۰۹۹	۰/۰۹۴	۰/۰۳۹	۰/۰۱۶	۰/۰۶۵	۰/۰۱۵	۰/۰۱۵
۵۱۳	۰/۰۰۷۳	۰/۰۷۶	۰/۰۵۶	۰/۰۱۱	۰/۰۱۶	۰/۰۲۹۵	۰/۰۳۵	۰/۰۱۰
۵۱۴	۰/۰۰۴۶	۰/۰۲۸	۰/۰۰۵۵	۰/۰۱۱	۰/۰۰۶	۰/۰۱۰۹	۰/۰۰۴	۰/۰۰۴
۵۱۵	۰/۰۰۵	۰/۰۳۷	۰/۰۸۲	۰/۰۰۱۷	۰/۰۱۱	۰/۰۱۰۷	۰/۰۰۷	۰/۰۰۷
۵۱۶	۰/۰۰۱۰	۰/۰۱۰	۰/۰۶۵	۰/۰۰۲	۰/۰۱۱	۰/۰۸۳	۰/۰۰۸	۰/۰۰۸
۵۱۷	۰/۰۰۶	۰/۰۵۶	۰/۰۲۳	۰/۰۱۲	۰/۰۱۲	۰/۰۸۳	۰/۰۰۹	۰/۰۰۹
۵۱۸	۰/۰۱۱۹	۰/۰۳۸	۰/۰۲۳	۰/۰۰۴۶	۰/۰۱۲	۰/۰۱۳	۰/۰۱۵۲	۰/۰۱۶
۵۱۹	۰/۰۱۱۷	۰/۰۷۶	۰/۰۳۸	۰/۰۰۲۱	۰/۰۱۷	۰/۰۱۱	۰/۰۱۶	۰/۰۱۶
۵۲۰	۰/۰۱۶۰	۰/۰۵	۰/۰۳۸	۰/۰۰۱۸	۰/۰۰۶	۰/۰۲۹۰	۰/۰۰۶	۰/۰۰۶
۵۲۱	۰/۰۰۹۲	۰/۰۴۲	۰/۰۰۶	۰/۰۰۳	۰/۰۱۲	۰/۰۴۱۸	۰/۰۰۴۰	۰/۰۰۴۰
۵۲۲	۰/۰۱۱۳	۰/۰۴۱	۰/۰۱۲	۰/۰۰۱۲	۰/۰۰۳	۰/۰۱۰	۰/۰۰۴	۰/۰۰۴
۵۲۳	۰/۰۶۲۱	۰/۰۷۳	۰/۰۰۳۴	۰/۰۰۲۸	۰/۰۰۷	۰/۰۰۷۰۲	۰/۰۰۱۰	۰/۰۰۱۰
۵۲۴	۰/۰۰۴۱	۰/۰۵۹۵	۰/۰۰۵۳	۰/۰۱۴۹	۰/۰۰۷	۰/۰۱۰۹	۰/۰۰۹	۰/۰۰۹
۵۲۵	۰/۰۲۶۴	۰/۰۱۷۷	۰/۰۰۱۸	۰/۰۱۱	۰/۰۱۱	۰/۰۰۸	۰/۰۰۸	۰/۰۰۸
۵۲۶	۰/۰۰۷۳	۰/۰۵۸	۰/۰۰۱۷	۰/۰۰۲۲	۰/۰۰۱۱	۰/۰۰۸	۰/۰۰۸	۰/۰۰۸
۵۲۷	۰/۰۰۷۷	۰/۰۵۸	۰/۰۰۱۶	۰/۰۰۱۷	۰/۰۰۱۰	۰/۰۰۸	۰/۰۰۸	۰/۰۰۸
۵۲۸	۰/۰۰۷۳	۰/۰۵۸	۰/۰۰۱۷	۰/۰۰۱۰	۰/۰۰۸	۰/۰۰۸	۰/۰۰۸	۰/۰۰۸
۵۲۹	۰/۰۰۷۲	۰/۰۵۸	۰/۰۰۱۷	۰/۰۰۱۰	۰/۰۰۸	۰/۰۰۸	۰/۰۰۸	۰/۰۰۸

## ۱۴- تحلیل خوش‌های میان مرکز برد (۹۰۹ داده‌های ورقه‌ی)

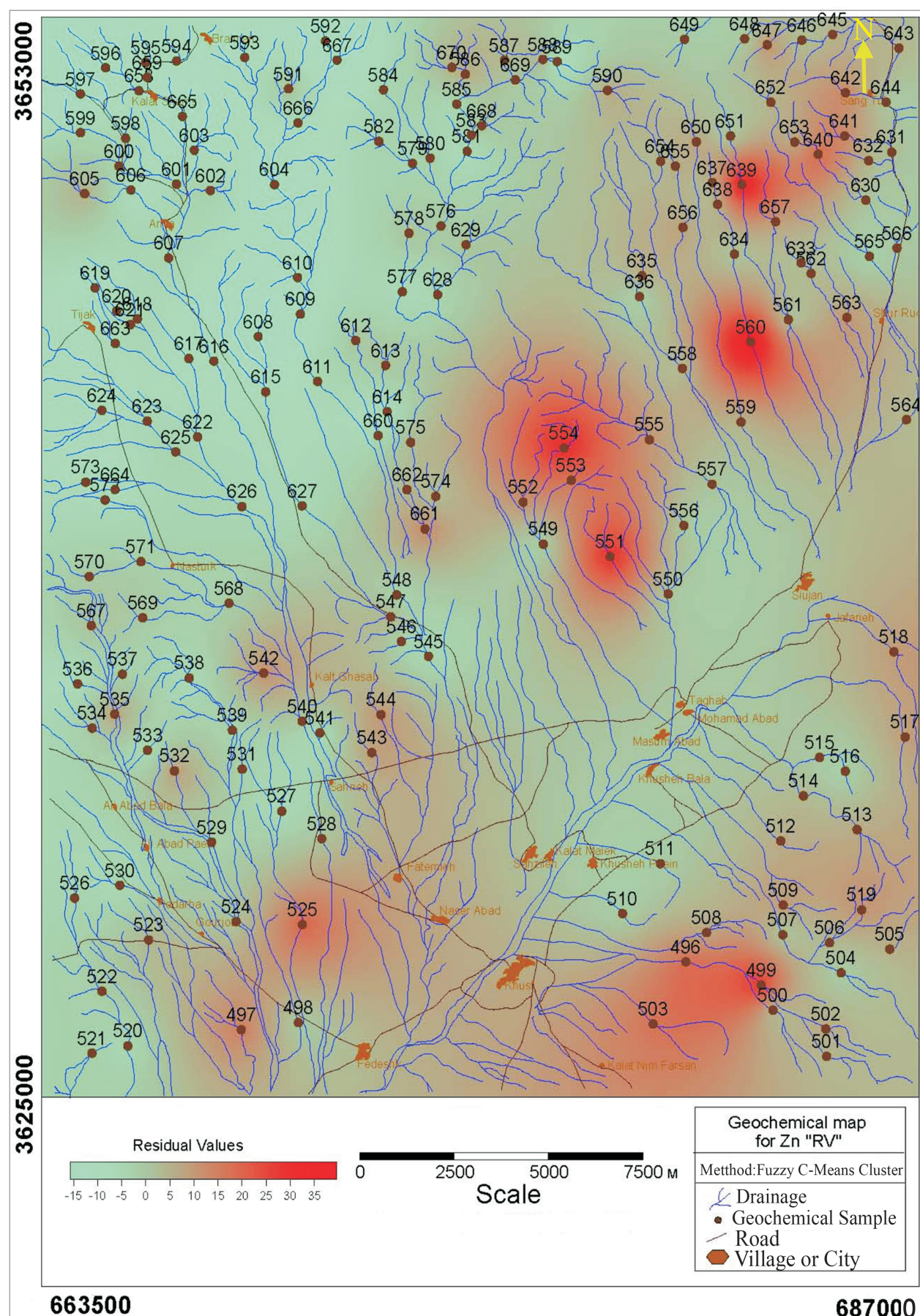
### ۱۴-۱: فوسف (ومدتری و فلفی)

که در آن  $Xkj$  مقدار اندازه گیری شده و  $\sum$  مقدار محاسبه شده می باشد. پس از محاسبه مقدادر بازماند، می توان نقشه‌ی مقدادر بازماند را تهیه نمود. با توجه به این که در این نقشه‌ها اثر مؤلفه‌ی سنتزیک خشنی شده است می توانند شفاف‌تر موقعیت مؤلفه‌های اپی‌ژنتیک کانی سازی را که همان موقعیت آنمالی‌های واقعی در منطقه است را به نمایش بگذارند (حسنه پاک ۱۳۸۰).

تحلیل خوش‌های میان مرکز با استفاده از نرم افزار Matlab بر روی داده‌های ورقه‌ی خوسف (۹۰۹۰۰ داده) برای تعیین تعداد خوش‌های مناسب، با توجه به لیتوژری منطقه و همچنین توسعه روش آنالیز خوش‌های k-mean تعداد ۸ خوشه مناسب تشخیص داده شد. با اجرای برنامه‌ی تحلیل خوش‌های میان مرکز در نرم افزار Matlab، پس از ۱۰۰ بار تکرار درجه‌ی عضویت هر نمونه به خوش‌ها (جدول ۱) و همچنین مرکز هریک از خوش‌ها (جدول ۲) به دست آمد. ماتریس مربوط به مراکز خوش‌ها، یک ماتریس  $8 \times 20$  و همچنین ماتریس مربوط به درجه‌ی عضویت نمونه‌ها یک ماتریس  $175 \times 8$  می باشد. با دقت در جدول مربوط به ماتریس درجه‌ی عضویت‌ها مشاهده می شود که مجموع درجه‌ی عضویت‌های یک نمونه در خوش‌ها برابر یک می باشد. سپس با استفاده از رابطه‌ی (۶) داده‌ها از حالت خوش‌ای خارج و مقدادر بازماند محاسبه گردید (جدول ۳). ماتریس حاصل نیز یک ماتریس  $175 \times 20$  می باشد. در نهایت با استفاده از این مقدادر نقشه‌های مناطق آنمال برای برخی عناصر رسم گردید. نقشه‌ی مقدادر بازماند مربوط به عنصر Zn در تصویر ۲ آورده شده است.

جدول-۲- جدول مربوط به مراکز خوش‌ها

Zn	Pb	Ag	Cr	Ni	Bi	Sc	Cu	As	Sb	Cd	Co	Sn	Ba	V	Sr	Hg	Fe <sub>2</sub> O <sub>3</sub>	MnO	TiO <sub>2</sub>	کلاستر
۵۶/۹۷۴	۳۹/۰۰۹	۰/۱۹۳۱	۸/۰۰۲	۶۲/۹۱۴	۰/۳۰۱۰۲	۲۶/۷۳۹	۴۳/۸۵۶	۵/۰۳۴	۶/۰۶۰۲	۲۴/۹۹۶	۸/۷۱۶۹	۳/۲۸۲۱	۷۱۹/۰۵۷	۱۴۵/۳۵	۱۷۳/۱۶	۰/۰۲۳۷۱۶	۳/۳۷۲	۰/۰۹۰۰۹۱	۲/۶۳۰۵	۱
۵۴/۳۱۱	۴۵/۰۱۰	۰/۱۳۰۸	۲۶/۳۰۱	۶۲/۱۸۶	۰/۳۰۱۴۷	۳۷/۶۸۹	۴۱/۰۱۲	۶/۰۱۶	۶/۸۱۳	۱۵/۱۳۵	۴/۲۹۶۱	۷۱۲/۰۶۸	۱۹۶/۳	۱۸۱/۹۳	۰/۰۲۲۰۲	۳/۱۸۱۱	۰/۰۹۴۲۸۹	۴/۱۵۸۸	۲	
۷۳/۳۹۳	۴۹/۰۶۱	۰/۱۷۷۴	۰/۰۸۸	۹/۱۷۷	۰/۴۴۵۹۳	۳۰/۰۵۹۷	۵۸/۷۵۲	۸/۶۴۹	۶/۷۴۳	۱۴/۳۴۸۳	۳/۳۹۷۲	۶۷۸/۷۴۵	۱۸۱/۳۲	۲۱۳/۷۷	۰/۰۲۶۷۵۶	۴/۷۰۱۶	۰/۱۰۳۵۸	۲/۷۲۵۸	۳	
۴۴/۰۸۸	۴۹/۲۶۹	۰/۰۸۹۸	۳۷/۶۳	۵۲/۰۱۰۷	۰/۲۰۱۰	۳۶/۳۸	۳۴/۰۵۶	۶/۰۱۷	۶/۹۳۰	۱۷/۰۴۸۳	۱۷/۱۹۸	۵/۰۰۳۸۷	۱۶/۰۵۹	۱۸۶/۰۵۹	۰/۰۲۰۷۴۵	۲/۵۶۷۷	۰/۰۹۱۱۳۱	۵/۴۴۷۸	۴	
۶۰/۰۵۴	۵۳/۲۷۸	۰/۰۸۸	۰/۰۸۰۹	۱۲/۱۶	۷۴/۰۲	۰/۱۸۸۱۹	۴۷/۹۶۲	۷/۷۱۵	۶/۰۵۱	۰/۹۲۵۴	۱/۰۱۲	۲/۳۶۵	۶۹۸	۱۵۴/۱۲	۲۰/۰۳۱	۰/۰۲۴۴۳۱	۲/۷۰۲۸	۰/۰۹۴۸۶۱	۲/۶۳۷۸	۵
۵۸/۷۳۴	۸۷/۰۵۴	۰/۱۷۹۹	۱۷/۲۵۳	۶۷/۳۳۵	۰/۶۱۷۵۲	۲۹/۷۴۲	۴۴/۹۹۶	۱۳/۳۸۸	۶/۷۱۹	۱۵۴۰۸	۱۲/۱۶۹	۳/۶۲۲۱	۵۸/۱۰۴	۱۷۰/۸۱	۲۷۶/۲۷	۰/۰۳۰۴۵۹	۳/۴۶۸۱	۰/۰۹۳۲۶	۳/۳۲۹۴	۶
۵۷/۹۸۲	۴۵/۰۲۷۳	۰/۱۷۷۵	۱۳/۰۱۱	۶۸/۰۱۰	۰/۳۳۶۲۷	۲۸/۰۴۴	۴۵/۰۱۷	۶/۰۵۰	۶/۶۷۰	۱/۰۷۶۴	۳/۵۱۹	۷۰/۹۸	۱۵۹/۰۵۷	۱۸۷/۹۴	۰/۰۲۳۲۸	۳/۴۷۰۸	۰/۰۹۲۸۴۷	۲/۹۲۴۶	۷	
۴۳/۰۱۰	۵۲/۳۰۸	۰/۰۹۰۵	۶۰/۰۲۰۵	۵۳/۰۱۶	۰/۲۲۸۲۵	۴۲/۹۴۸	۳۳/۰۱۹	۶/۰۵۱	۷/۰۹۴	۲۳/۴۶۲	۵/۰۷۹۶	۷۱۲/۰۵۶	۲۹۰/۰۴۷	۱۶۶/۰۲۵	۰/۰۱۹۰۲	۲/۴۶۲۶	۰/۰۹۵۶۷	۷/۰۳۲۱	۸	



تصویر ۲- نقشه‌ی مربوط به نواحی امید پخش برای عنصر Zn

جدول-۳-مقادیر بازماند عناصر در برخی نمونه‌ها

Zn	Pb	Ag	Cr	Ni	Bi	Sc	Cu	As	Sb	Cd	Co	Sn	Ba	V	Sr	Hg	Fe2O3	MnO	TiO2	شماره نمونه
۱۸/۲۴۰	-۰/۰۵۸	۰/۰۱	۴/۸۳۲	۱۶/۴۱۳	۰/۰۸۴	۰/۰۲۰۰	۱۶/۶۵۴	۰/۰۱۸	۰/۰۷۴	۰/۰۴۳	۱/۳۲۲	-۰/۰۳۵۶	۲۱/۱۵۷-	۴/۰۸۱	۳/۶۵۳	۰/۰۰۲	۱/۶۲۲	۰/۰۱۲	۰/۷۷۹-	۴۹۶
۱۴/۹۰۹	-۴/۸۴۲	-۰/۰۲۳	۱۷/۱۹۲	۲۴/۲۴۴	۰/۰۶۶-	۴/۴۰۷	۱۲/۴۱۲	۴/۹۱۰	۰/۰۹۶	۰/۶۴۷	۸/۸۱۲	۰/۰۶۴	۷/۳۸۵-	۴/۱۴۳۲	۷۵/۳۹۷	۰/۰۰۱	۱/۱۲۹	۰/۰۱۰	۰/۱۴۵	۴۹۷
-۱/۵۹۴	-۱/۶۸	-۰/۰۱۳	۱/۴۲۶	۳/۷۷۱	۰/۰۲۸	۰/۰۷۰۰	۱/۶۷۵	۰/۰۱۰۰	۰/۰۱۰۳	۰/۰۰۹	۱/۱۱۲	۰/۰۲۳۹	۱/۹۴۹	۴/۹۲۶	۰/۰۷۹۹	۰/۰۰۱	۰/۱۲۴-	۰/۰۰۲	۰/۳۹۶	۴۹۸
۲۹/۰۸	-۰/۰۶۱۵	-۰/۰۰۸	۳/۷۳۸-	۲/۴۰۹-	۰/۰۶۶	۰/۰۴۲	۱۶/۲۳۴	۰/۰۴۵	۰/۰۴۵	۰/۰۳۲	۱/۳۹۵	۰/۰۳۰۴-	۴/۱۸۹۰-	۱۱/۲۶۰-	۲۹/۷۵۰-	۰/۰۰۶	۱/۶۹۶	۰/۰۰۶	۰/۷۹۱-	۴۹۹
۳/۱۳۴	۱/۴۸۹	۰/۰۰۱	۱/۳۸۶-	۱/۵۲۲	۰/۰۲۷	۰/۰۴۵۰	۲/۸۳۱	۱/۰۱۹	۰/۰۸۱	۰/۱۶۰	۰/۰۳۹۸	۰/۰۱۴۶-	۵/۰۲۲۳-	۴/۷۶۷-	۱۷/۰۱۷	۰	۰/۰۲۸۵	۰/۰۰۴	۰/۲۶۸-	۵۰۰
۳/۶۵۶	-۴/۹۲۹	۰/۰۰۷	۶/۴۷۷-	۱۲/۶۶۷	۰/۰۵۹	۰/۱۴۵	۵/۳۷۸	۰/۰۱۵	۰/۰۳۲	۰/۸۰	۲/۵۴۷	۰/۰۳۷۴-	۲۱/۰۴۸-	۱۷/۶۰۸	۸/۷۸۱	۰/۰۰۶	۰/۴۲۳	۰/۰۰۴	۰/۸۱۷-	۵۰۱
۷/۱۰۹	-۰/۶۲۹	۰/۰۰۲	۵/۰۳۰-	۹/۶۱۵	۰/۰۹۴	۱/۷۰۱	۶/۹۷۶	۰/۰۳۶-	۰/۰۴۶-	۰/۰۹-	۱/۷۳۰-	۰/۰۷۶-	۱/۵۱۱-	۱۲/۲۳۴	۲/۶۷۸	۰/۰۰۵	۰/۶۲۷	۰/۰۰۵	۰/۷۲۶-	۵۰۲
۱۶/۹۹۸	-۷/۲۱۳	-۰/۰۰۸	۷/۹۰۴	۲۶/۳۶۸	۰/۰۷۸	۱/۶۲۹	۱۶/۷۸۵	۱/۰۳۴	-۰/۰۳۹	۰/۱۳۱	۳/۱۸۶	۰/۱۱۴-	۴/۱۹۵۰-	۱۴/۲۳۲	۱۵/۹۵۷	۰/۰۰۴	۱/۵۴۶	۰/۰۱۳	۰/۵۶۵-	۵۰۳
-۲/۰۳۱	۰/۹۵۱	۰/۰۰۸	۹/۵۶۸-	۳/۷۱۴-	۰/۰۴۴	۳/۰۴۲-	۱/۰۸۳-	۰/۰۴۷-	۰/۰۱۵-	۰/۰۱-	۳/۴۱۸-	۰/۰۲۳۷-	۲/۷۸۳	۲۰/۷۷۷-	۰/۹۸۲	۰	۰/۰۹۲-	۰/۰۰۳-	۰/۵۶۶-	۵۰۴
۴/۶۳۷	۱/۷۶۶	۰/۰۰۷	۷/۷۱۰-	۰/۹۸۲-	۰/۰۵۳	۲/۵۲۱	۳/۶۸۳	۰/۰۳۶۸-	۰/۱۳۱	۰/۰۶۸	۲/۷۱۵	۰/۰۴۳۶-	۰/۰۹۷۵-	۱۹/۸۳۷-	۱۰/۳۰۱	۰	۰/۰۳۷۹	۰/۰۰۳	۰/۷۸۲-	۵۰۵
۳/۴۷۹	-۶/۱۴۸	۰/۰۰۱	۱/۹۶۷-	۴/۸۶۷	۰/۰۲۱	۰/۰۶۹۳-	۳/۰۰۸	۰/۰۷۵-	۰/۰۰۸	۰/۰۳۸-	۰/۰۴۸-	۰/۰۷۸-	۶/۰۶۸-	۰/۹۳۵-	۱۷/۰۰۷-	۰/۰۰۳	۰/۰۳۱۹	۰/۰۰۳	۰/۳۴۳-	۵۰۶
-۰/۵۵۴	-۴/۳۲۱	۰/۰۰۷	۵/۰۳۸-	۱/۱/۱	۰/۰۴۶	۱/۶۵۳-	۲/۱۶۹	۰/۰۲۵۶-	۰/۰۸۲	۰/۰۸۷-	۲/۱۶۳-	۰/۰۳۰۳-	۸/۱۸۷۴-	۱۳/۹۷۳-	۱۱/۶۷۶-	۰/۰۰۳	۰/۱۰۵	۰/۰۰۲	۰/۵۱۳-	۵۰۷
۶/۷۱۲	-۸/۰۰۹	۰/۰۰۳	۰/۰۹۶-	۱۱/۷۲۳	۰/۰۰۹	۰/۰۵۶۱	۶/۳۱۹	۰/۰۱۴۶	۰/۰۴۲-	۰/۰۲۹-	۰/۱۴۰	۰/۰۹۹-	۲/۰۵۰۹-	۳/۱۰۳-	۰/۰۰۴	۰/۰۵۴۲	۰/۰۰۴	۰/۳۷۷-	۵۰۸	
۹/۳۸۷	-۸/۲۹۵	-۰/۰۰۲	۳/۶۱-	۲/۱۶۹۱	۰/۰۸۸	۱/۴۵-	۹/۲۰۸	۰/۰۹۹-	۰/۰۲۴۹-	۰/۱۴۷-	۱/۰۴۴-	۰/۰۱۱۶-	۵/۰۵۳۹-	۱۲/۰۸۸-	۱۲/۰۷۳-	۰/۰۰۴	۰/۷۲۵	۰/۰۰۵	۰/۷۱۰-	۵۰۹
-۲/۲۸۸	-۰/۶۴۲	۰/۰۰۷-	۱/۲۰۷	۱۱/۴۱۴	۰/۰۰۴-	۰/۰۷۸	۲/۳۵۴	۱/۲۹۵	۰/۰۱۵-	۰/۱۷۴	۰/۰۲۷۸	۰/۰۷۸	۲/۱۷۹	۰/۰۸۹۳	۲۲/۴۰۹	۰/۰۰۱	۰/۱۷۱	۰/۰۰۴	۰/۱۶۱-	۵۱۰
-۱/۶۳۴	-۱/۰۳۶	۰/۰۰۵-	۱/۷۰۲	۱/۰۱۸۰	۰/۱۲۳-	۰/۰۲۸۲	۲/۹۶۴	۴/۴۴۹	۰/۰۳۶۹-	۰/۶۷۱	۱/۱۴۶	۰/۰۲۴۹	۷/۱۴۸۷	۱/۷۶۱	۷/۷۲۵	۰/۰۰۳	۰/۰۲۶۶	۰/۰۰۴	۰/۰۷۸-	۵۱۱
۵/۶۸۶	-۱۰/۰۱-	۰/۰۰۸	۷/۵۶۴-	۱۴/۳۴۱	۰/۰۵۶	۲/۰۰۶-	۵/۱۰۱	۰/۰۸۵-	۰/۰۲۲۴	۰/۰۲۰۷-	۲/۰۲۹۵-	۰/۰۴۸۷-	۶/۱۳۳۱-	۱۹/۷۳۷-	۲۸/۷۰۱	۰/۰۰۴	۰/۰۳۵۰	۰/۰۰۱	۰/۷۷۳-	۵۱۲
۵/۹۸۰	۲۶/۱۳۳	۰/۰۷۹	۹/۴۰۶-	۱۹/۴۹۴	۰/۱۳۳	۳/۰۳۷-	۷/۰۰۴	۱/۹۳۴	۰/۰۰۴-	۰/۰۳۸	۳/۰۳۴۲-	۰/۰۵۸-	۰/۰۵۱۵-	۲۶/۰۳۲-	۳۶/۴۱۶	۰/۰۰۴	۰/۰۵۶۱	۰/۰۰۵	۱/۴۰۰-	۵۱۳
۳/۴۱۰	۸/۶۸۲	۰/۰۱۰	۳/۷۳۴-	۱/۹۶۴	۰/۰۷۰	۱/۴۱۲-	۴/۱۶۸	۰/۳۶۸-	۰/۰۵۰۳-	۰/۰۷۳-	۱/۲۲۴-	۰/۰۰۲	۶/۱۸۲۹-	۹/۸۴۱-	۰/۰۰۵	۰/۰۴۳۰	۰/۰۰۳	۰/۴۵۴-	۵۱۴	
-۰/۷۷۲	۸/۸۳۱	۰/۰۱۳	۴-	۰/۰۶۲-	۰/۰۴۴	۱/۱۷۹	۰/۰۳۸۳-	۰/۰۸۸۶	۰/۰۲۲-	۰/۱۴۴	۱/۱۹۰-	۰/۰۲۵۷-	۶/۰۷۰۴-	۱۰/۰۸۷۷-	۱۶/۲۸۴	۰	۰/۰۶۰-	۰	۰/۲۳۱-	۵۱۵
-۳/۳۴۳	۳/۸۷۲	۰/۰۰۶	۹/۹۷۸-	۵/۰۵۸	۰/۰۳۹	۲/۰۵۳۱-	۰/۰۴۸	۰/۰۶۱۲	۰/۰۲۴۶-	۰/۰۷۸	۳/۰۳۶-	۰/۱۴۵-	۶/۰۶۳۱	۲/۱۳۰۷-	۱۳/۶۳۱	۰	-۰/۰۵۶	۰/۰۰۲	۰/۰۵۶۱-	۵۱۶
۸/۸۰۱	-۲/۰۰۷	۰/۰۱۰	۱/۹۶۸-	۱۴/۴۵۲	۰/۰۷۵	۱/۴۲۱-	۶/۷۵۵	۰/۰۳۸۵	۰/۰۲۷۹	۰/۰۰۸-	۱/۱۴۵-	۰/۱۴۶-	۵/۱۸۰-	۸/۸۹۶-	۴/۲۴۶	۰/۰۰۴	۰/۰۵۲۰	۰/۰۰۴	۰/۵۰۴-	۵۱۷
۹/۳۱۹	-۱۲/۵۰۲	۰/۰۱۹	۱/۹۸۴	۲۰/۰۸۳	۰/۰۳۲	۰/۰۴۵۸-	۱۰/۴۷۵	۰/۰۴-	۰/۰۱۷۷	۰/۱۲۲-	۰/۰۶۷۱	۰/۰۳۰۷-	۳/۰۲۸-	۱/۰۸۹-	۱۰/۰۹۳۲-	۰/۰۰۶	۰/۰۹۱۸	۰/۰۰۸	۰/۰۵۶۶-	۵۱۸

نقشه‌ها مناطق امیدبخش قابل شناسایی می‌باشند. به منظور ارزیابی

خنثی سازی اثر سنتزتیک از داده‌های ژئوشیمیابی یکی از مهم‌ترین مراحل پردازش داده‌ها به منظور آشکارسازی اثر اپی زنتیک می‌باشد. با توجه به تنوع واحدهای سنگی درمنطقه و انجام آنالیز خوشه‌ای K-mean خوشه‌ای میان مرکز بر روی داده‌ها، داده‌ها در ۸ خوشه گروه بندی شدند که در نتیجه این خوشه‌بندی در جهی عضویت هریک از نمونه‌ها به هریک از خوشه‌ها و مرکز هر یک از خوشه‌ها به دست آمد. سپس با استفاده از رابطه‌ی (۵) مقادیر بازماند محاسبه گردید. در ادامه نقشه‌ی مربوط به مقادیر بازماند رسم گردید که بر روی این

#### ۴-مراجع

حسنی پاک، ع. ا.، شرف الدین، م.، ۱۳۸۰، تحلیل داده‌های اکتشافی، انتشارات دانشگاه تهران، ۹۸۷ ص.

طاهری، م.، ۱۳۷۵، آشنایی با نظریه‌ی مجموعه‌های فازی، انتشارات جهاد

دانشگاهی مشهد، ۱۰۸ ص.

کاویانی، د، ۱۳۷۹، کاربرد تئوری فازی در اکتشافات معدنی، سمینار کارشناسی ارشد، دانشگاه صنعتی امیرکبیر.

وحدتی دانشمند، ف، خلقی، م.ح، ۱۳۶۵، نقشه‌ی زمین‌شناسی ۱:۱۰۰۰۰۰ منطقه‌ی خوسف، سازمان زمین‌شناسی کشور.

**Kramar, U., 1995,** "Application of limited fuzzy clusters to anomaly recognition in complex geological environment", *Journal of Geochemical Exploration*, Vol. 55: 81-92.

**Askar Zadeh, L. A., 1976,** "A fuzzy-algorithmic approach to the definition of complex or imprecise concepts", *Jour. Man-Machine Studies*, Vol. 8: 249-291.

**Rantitsch, G., 2000,** "Application of fuzzy clusters to quantify litho logical background concentrations in stream-sediment geochemistry", *Journal of Geochemical Exploration*, Vol. 71: 73-82.

**Shiva, M., 1998,** "A stream sediment geochemical exploration in the arid environment of east Iran", *PHD Thesis, the university of Natingham, UK.* 246p.

**Vriend, S. P., 1987,** "The application of fuzzy C-means cluster analysis and non-linear mapping to geochemical dataset: examples from Portugal", *Journal of Applied Geoscience*, Vol. 3: 213-224.